

1 Wstęp

1.1 Dyskretna transformata Fouriera

Weźmy pod uwagę ciąg

$$\{h_0, h_1, \dots, h_{N-1}\}, \quad N = 2^n. \quad (1)$$

następnie zdefiniujemy, dla $i = 0, \dots, N-1$

$$\hat{h}_i = \sum_{k=0}^{N-1} h_k e^{-i \frac{2\pi i}{N} k}, \quad (2)$$

otrzymany w ten sposób ciąg

$$\{\hat{h}_0, \hat{h}_1, \dots, \hat{h}_{N-1}\}, \quad N = 2^n, \quad (3)$$

nazywamy dyskretną transformatą Fouriera ciągu (1). Bezpośrednim rachunkiem można wykazać, że

$$\hat{h} = \frac{1}{N} \sum_{k=0}^{N-1} \hat{h}_k e^{i \frac{2\pi i}{N} k} \quad (4)$$

Wzór (2) definiuje dyskretną transformatę Fouriera (ang. *discrete Fourier transform, DFT*),

$$\{h_0, h_1, \dots, h_{N-1}\} \xrightarrow{\text{DFT}} \{\hat{h}_0, \hat{h}_1, \dots, \hat{h}_{N-1}\}, \quad (5)$$

zaś wzór (4) odwrotną dyskretną transformatę Fouriera.

Weźmy pod uwagę funkcje f i \hat{f} które są związane zależnością

$$\hat{f}(\omega) = \int_{-\infty}^{\infty} f(t) e^{-i\omega t} dt \quad (6)$$

Załóżmy, że poza przedziałem $[a, b]$ funkcja f jest równa 0. Oznaczmy $d = b - a$ i podzielmy przedział $[a, b]$ na N odcinków, każdy o długości d/N . Mamy

$$\begin{aligned} \hat{f}(\omega) &= \int_{-\infty}^{\infty} f(t) e^{-i\omega t} dt \\ &= \int_a^b f(t) e^{-i\omega t} dt \\ &= \int_0^{b-a} f(t+a) e^{-i\omega(t+a)} dt \\ &= e^{-i\omega a} \int_0^{b-a} f(t+a) e^{-i\omega t} dt \\ &= e^{-i\omega a} \int_0^d f(t+a) e^{-i\omega t} dt \\ &\approx e^{-i\omega a} \frac{d}{N} \sum_{k=0}^{N-1} f\left(k \frac{d}{N} + a\right) e^{-i\omega k \frac{d}{N}} \end{aligned} \quad (7)$$

zatem dla $\omega = 2\pi l/d$ mamy

$$\begin{aligned} \hat{f}\left(\frac{2\pi l}{d}\right) &= e^{-i \frac{2\pi l a}{d}} \frac{d}{N} \sum_{k=0}^{N-1} f\left(k \frac{d}{N} + a\right) e^{-i \frac{2\pi l k d}{N d}} \\ &= e^{-i \frac{2\pi l a}{d}} \frac{d}{N} \sum_{k=0}^{N-1} f\left(k \frac{d}{N} + a\right) e^{-i \frac{2\pi l k}{N}}, \end{aligned} \quad (8)$$

w dalszym ciągu przyjmujemy oznaczenie

$$\hat{f}_{-l} = \hat{f}\left(\frac{2\pi l}{d}\right). \quad (9)$$

Korzystając z powyższych zależności otrzymujemy

$$\hat{f}_{-l} = \hat{f}_l^* \quad (10)$$

oraz

$$\begin{aligned} \hat{f}_{N-l} &= e^{-i \frac{2\pi(N-l)a}{d}} \frac{d}{N} \sum_{k=0}^{N-1} f\left(k \frac{d}{N} + a\right) e^{-i \frac{2\pi(N-l)k}{N}} \\ &= e^{-i \frac{2\pi N a}{d}} e^{-i \frac{2\pi l a}{d}} \frac{d}{N} \sum_{k=0}^{N-1} f\left(k \frac{d}{N} + a\right) e^{i \frac{2\pi l k}{N}} \\ &= e^{-i \frac{2\pi N a}{d}} \hat{f}_{-l} \end{aligned} \quad (11)$$

zatem

$$\hat{f}_{-l} = e^{i \frac{2\pi N a}{d}} \hat{f}_{N-l}. \quad (12)$$

Biorąc pod uwagę powyższe, widzimy, że możemy wyznaczyć przybliżone wartości funkcji \hat{f} w wybranych punktach, korzystając z DFT dla próbkowanych wartości funkcji f .

Przykład 1. Weźmy pod uwagę funkcję

$$f(t) = e^{-\frac{(t-t_0)^2}{2\sigma^2}} \quad (13)$$

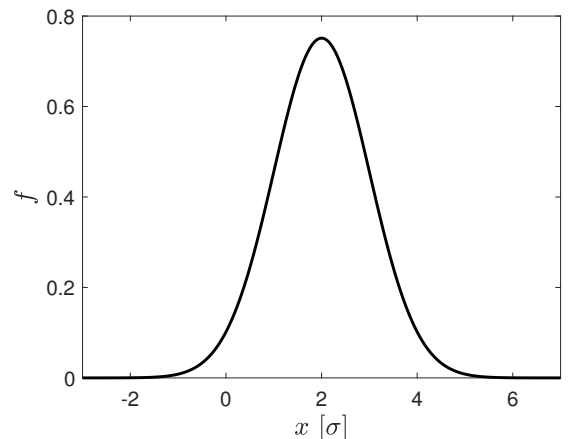
Mamy

$$\begin{aligned} \hat{f}(\omega) &= \int_{-\infty}^{\infty} f(t) e^{-i\omega t} dt \\ &= \sigma \sqrt{2\pi} e^{-i\omega t_0} e^{-\frac{\omega^2 \sigma^2}{2}} \end{aligned} \quad (14)$$

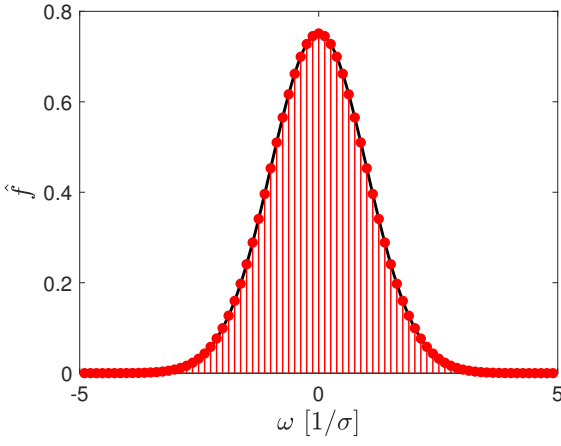
w szczególności

$$|f(\omega)| = \sigma \sqrt{2\pi} e^{-\frac{\omega^2 \sigma^2}{2}} \quad (15)$$

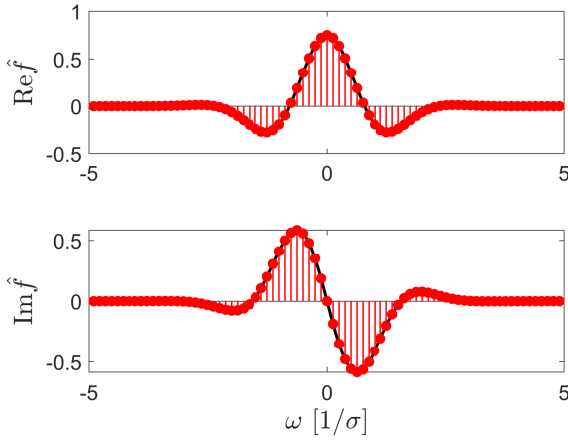
Przyjmując $\sigma = 1$ otrzymujemy wyniki przedstawione na Rys.



Rysunek 1: Wykres funkcji (13).



Rysunek 2: Wykres transformaty Fouriera funkcji (13).



Rysunek 3: Wykres funkcji (13), panel górny – część rzeczywista, panel dolny – część urojona.

1.2 Parametry Markowa

Rozważmy układ dyskretny SISO n -tego rzędu opisany równaniami stanu

$$x_{k+1} = Ax_k + Bu_k, \quad (16a)$$

$$y_k = Cx_k, \quad (16b)$$

gdzie $A \in \mathbb{R}^{n \times n}$, $B \in \mathbb{R}^n$, $C \in \mathbb{R}^{1 \times n}$. Równaniom (16) odpowiada macierz transmittancji

$$H(z) = C(Iz - A)^{-1}B. \quad (17)$$

Dla układu (16) definiujemy tzw. parametry Markowa h_1, \dots, h_k, \dots

$$h_1 = CB, \quad h_2 = CAB, \quad \dots, \quad h_k = CA^{k-1}B, \quad \dots \quad (18)$$

ogólnie

$$h_k = CA^{k-1}B, \quad h_k \in \mathbb{R}^{p \times m}, \quad k = 1, 2, \dots \quad (19)$$

Weźmy pod uwagę przekształcenie przez podobieństwo

$$(A, B, C) \xrightarrow{P} (PAP^{-1}, PB, CP^{-1}) = (\tilde{A}, \tilde{B}, \tilde{C}), \quad (20)$$

tzn. $\tilde{A} = PAP^{-1}$, $\tilde{B} = PB$, $\tilde{C} = CP^{-1}$. Macierze \tilde{A} , \tilde{B} , \tilde{C} opisują pewien model w przestrzeni stanu, któremu odpowiada

transmittancja $\tilde{H}(z) = \tilde{C}(Iz - \tilde{A})^{-1}\tilde{B}$. Ponieważ $\tilde{H}(z) = H(z)$ (co można sprawdzić bezpośrednim rachunkiem), mówimy, że transmittancja jest niezmiennikiem przekształcenia przez podobieństwo. Ponieważ jedynym warunkiem nałożonym na macierz P jest jej odwracalność, to oznacza to, że danej transmittancji odpowiada nieskończenie wiele modeli w przestrzeni stanu. Zauważmy, że parametry Markowa (18), podobnie jak transmittancja, również są niezmiennicze względem przekształcenia przez podobieństwo

$$\tilde{h}_1 = \tilde{C}\tilde{B} = CP^{-1}PB = CB = h_1,$$

$$\tilde{h}_2 = \tilde{C}\tilde{A}\tilde{B} = CP^{-1}PAP^{-1}PB = CAB = h_2,$$

⋮

$$\tilde{h}_k = \tilde{C}\tilde{A}^k\tilde{B} = CP^{-1}(PAP^{-1})^kPB$$

$$= CP^{-1}PA^kP^{-1}PB = CA^kB = h_k,$$

⋮

Zuważmy, że dla wymuszenia iech $u_i(0) = 1$, $i = 1, 2, \dots, r$ oraz $u_i(k) = 0$, $i = 1, 2, \dots, r$, $k = 1, 2, \dots$. Dla takiego wymuszenia, przy zerowych warunkach początkowych, tzn. $x_0 = 0$ mamy $y_0 = 0$, $y_1 = CB = h_1$, $y_2 = CAB = h_2$, ogólnie $y_k = CA^{k-1}B = h_k$. Zatem parametry Markowa są niczym innym jak wartościami odpowiedzi impulsowej układu.

1.3 Dyskretna transformata Fouriera

Weźmy pod uwagę ciąg

$$\{h_0, h_1, \dots, h_{N-1}\}, \quad N = 2^n. \quad (21)$$

Poddając ten ciąg dyskretniej transformacie Fouriera otrzymujemy

$$\{\hat{h}_0, \hat{h}_1, \dots, \hat{h}_{N-1}\}, \quad N = 2^n, \quad (22)$$

gdzie

$$\hat{h}_i = \sum_{k=0}^{N-1} h_k e^{-i\frac{2\pi}{N}k}. \quad (23)$$

Bezpośrednim rachunkiem można wykazać, że

$$\hat{h} = \frac{1}{N} \sum_{k=0}^{N-1} \hat{h}_k e^{i\frac{2\pi}{N}k} \quad (24)$$

Wzór (23) definiuje dyskretną transformatę Fouriera (ang. *discrete Fourier transform, DFT*),

$$\{h_0, h_1, \dots, h_{N-1}\} \xrightarrow{\text{FFT}} \{\hat{h}_0, \hat{h}_1, \dots, \hat{h}_{N-1}\}, \quad (25)$$

zaś wzór (24) odwrotną dyskretną transformatę Fouriera.

$$\{h_0, h_1, \dots, h_{N-1}\} \xleftarrow{\text{IFFT}} \{\hat{h}_0, \hat{h}_1, \dots, \hat{h}_{N-1}\}. \quad (26)$$

Szybka transformata Fouriera (ang. *fast Fourier transform, FFT*) jest jedynie pewnym sposobem wyznaczania dyskretniej transformaty Fouriera, jednak tak ważnym, że właściwie mówiąc o DFT mamy na myśli FFT. Ogólnie obydwie ciągi, zarówno (21) jak i (22) mogą być zespolone, ale w rozpatrywanym przez nas kontekście, ciąg (21) będzie zawsze rzeczywisty, tzn.

$$h_0, h_1, \dots, h_{N-1} \in \mathbb{R}. \quad (27)$$

Zauważmy, że przy takim założeniu mamy

$$\begin{aligned}\hat{h}_{-i} &= \sum_{k=0}^{N-1} h_k e^{i\frac{2\pi}{N}k} \\ &= \sum_{k=0}^{N-1} h_k \left(e^{-i\frac{2\pi}{N}k} \right)^* \\ &= \hat{h}_i^*\end{aligned}\quad (28)$$

a także

$$\begin{aligned}\hat{h}_{i+N} &= \sum_{k=0}^{N-1} h_k e^{-i\frac{2\pi(i+N)}{N}k} \\ &= \sum_{k=0}^{N-1} h_k e^{-i\frac{2\pi i}{N}k} \underbrace{e^{-i2\pi k}}_{=1} \\ &= \hat{h}_i.\end{aligned}\quad (29)$$

W taki sam sposób możemy pokazać, że

$$\hat{h}_{i+pN} = \hat{h}_i \quad \text{dla } p = 0, \pm 1, \pm 2, \dots \quad (30)$$

Ponadto, mamy

$$\hat{h}_i = \hat{h}_{i-N} = \hat{h}_{N-i}^*, \quad (31)$$

$$\hat{h}_0 = \sum_{k=0}^{N-1} h_k, \quad (32)$$

$$\hat{h}_{\frac{N}{2}} = \hat{h}_{\frac{N}{2}-N} = \hat{h}_{-\frac{N}{2}} = \hat{h}_{\frac{N}{2}}^*. \quad (33)$$

1.4 DFT i transmitancja układu z czasem dyskretnym

Weźmy pod uwagę układ dyskretny

$$x_{k+1} = Ax_k + Bu_k, \quad (34)$$

$$y_k = Cx_k, \quad (35)$$

któremu odpowiada transmitancja

$$H(z) = C(Iz - A)^{-1}B. \quad (36)$$

Dla stabilnego układu dyskretnego, co ma miejsce gdy wszystkie wartości własne macierzy A znajdują się wewnątrz koła jednostkowego na płaszczyźnie zespolonej, zachodzi

$$(Iz - A)^{-1} = Iz^{-1} + Az^{-2} + A^2z^{-3} + \dots \quad (37)$$

co można sprawdzić bezpośrednim rachunkiem. Oznaczmy

$$h_0 = 0, \quad h_1 = CB, \quad h_2 = CAB, \quad \dots, h_k = CA^{k-1}B, \dots \quad (38)$$

Zauważmy, że powyższy ciąg jest odpowiedzią impulsową (przy zerowych warunkach początkowych) rozpatrywanego układu. Ponieważ $H(z) = C(Iz - A)^{-1}B$ jest transformatą \mathcal{Z} ciągu (38), czyli transmitancja $H(z)$ jest transformatą \mathcal{Z} odpowiedzi impulsowej układu. Ponieważ $Y(z) = H(z)U(z)$, a mnożeniu transformat odpowiada splot oryginałów, to znaczy, że odpowiedź układu na dowolny ciąg wymuszeń u_0, u_1, \dots jest splotem tego ciągu i odpowiedzi impulsowej układu. Kolejne wartości odpowiedzi impulsowej h_0, h_1, \dots nazywamy parametrami Markowa. Na mocy twierdzenia Cayleya-Hamiltona każda macierz postaci A^m dla $m \geq n$ może być wyrażona jako kombinacja macierzy $I, A, A^2, \dots, A^{n-1}$, a współczynniki tej kombinacji można wyznaczyć, oznacza to, że jeśli znamy h_0, h_1, \dots, h_n

pierwszych parametrów Markowa to możemy wyznaczyć pozostałe. Innymi słowy parametry Markowa h_0, h_1, \dots, h_n wyznaczają jednoznacznie wszystkie kolejne.

Mamy dwa ciągi wartości, odpowiednio, sygnału wymuszenia

$$\{u_0, u_1, \dots\} \quad (39)$$

oraz odpowiedzi

$$\{y_0, y_1, \dots\} \quad (40)$$

Przy zerowych warunkach początkowych mamy

$$Y(z) = H(z)U(z). \quad (41)$$

Mamy

$$U(z) = \sum_{k=0}^{\infty} u_k z^{-k}, \quad Y(z) = \sum_{k=0}^{\infty} y_k z^{-k}. \quad (42)$$

$$H(z) = \frac{Y(z)}{U(z)} = \sum_{k=0}^{\infty} h_k z^{-k} = \frac{\sum_{k=0}^{\infty} y_k z^{-k}}{\sum_{k=0}^{\infty} u_k z^{-k}}. \quad (43)$$

Jeśli dla $k \geq N$ $y_k, u_k = 0$ to

$$H(z) = \frac{\sum_{k=0}^{N-1} y_k z^{-k}}{\sum_{k=0}^{N-1} u_k z^{-k}}. \quad (44)$$

Przyjmijmy oznaczenie

$$\hat{h}_i = H\left(e^{i\frac{2\pi}{N}i}\right), \quad (45)$$

wówczas

$$\hat{h}_i = \sum_{k=0}^{\infty} h_k e^{-i\frac{2\pi}{N}k}. \quad (46)$$

Jeśli dla $k \geq N$ $h_k = 0$ to

$$\hat{h}_i = \sum_{k=0}^{N-1} h_k e^{-i\frac{2\pi}{N}k}. \quad (47)$$

czyli ciąg

$$\{\hat{h}_0, \hat{h}_1, \dots, \hat{h}_{N-1}\} \quad (48)$$

można otrzymać przez FFT ciągu

$$\{h_0, h_1, \dots, h_{N-1}\}. \quad (49)$$

Tak samo ciąg

$$\{h_0, h_1, \dots, h_{N-1}\}. \quad (50)$$

można otrzymać przez IFFT

$$\{\hat{h}_0, \hat{h}_1, \dots, \hat{h}_{N-1}\} \quad (51)$$

. To samo można powiedzieć o parach ciągach

$$\{u_0, u_1, \dots, u_{N-1}\}, \quad \{\hat{u}_0, \hat{u}_1, \dots, \hat{u}_{N-1}\} \quad (52)$$

oraz

$$\{y_0, y_1, \dots, y_{N-1}\}, \quad \{\hat{y}_0, \hat{y}_1, \dots, \hat{y}_{N-1}\}. \quad (53)$$

Zauważmy, że

$$\hat{h}_i = \frac{\hat{y}_i}{\hat{u}_i}, \quad i = 0, \dots, N-1 \quad (54)$$

mamy

$$\begin{aligned}\hat{h}_i &= H\left(e^{i\frac{2\pi}{N}i}\right) \\ &= \frac{\sum_{k=0}^{N-1} y_k e^{-i\frac{2\pi}{N}k}}{\sum_{k=0}^{N-1} u_k e^{-i\frac{2\pi}{N}k}} \\ &= \frac{\hat{y}_i}{\hat{u}_i}.\end{aligned}\quad (55)$$

Wynika stąd następujący sposób wyznaczenia ciągu $\{h_0, h_1, \dots, h_{N-1}\}$. Wykonujemy FFT ciągów $\{u_0, u_1, \dots, u_{N-1}\}$ i $\{y_0, y_1, \dots, y_{N-1}\}$, następnie wyznaczyć ciąg $\{\hat{h}_0, \hat{h}_1, \dots, \hat{h}_{N-1}\}$ a następnie wykonać IFFT na tym ciągu.

$$\{u_0, u_1, \dots, u_{N-1}\} \xrightarrow{\text{FFT}} \{\hat{u}_0, \hat{u}_1, \dots, \hat{u}_{N-1}\}, \quad (56)$$

$$\{y_0, y_1, \dots, y_{N-1}\} \xrightarrow{\text{FFT}} \{\hat{y}_0, \hat{y}_1, \dots, \hat{y}_{N-1}\}, \quad (57)$$

$$\hat{h}_i = \frac{\hat{y}_i}{\hat{u}_i}, \quad i = 0, \dots, N-1 \quad (58)$$

$$\{\hat{h}_0, \hat{h}_1, \dots, \hat{h}_{N-1}\} \xrightarrow{\text{IFFT}} \{h_0, h_1, \dots, h_{N-1}\} \quad (59)$$

Zauważmy, że jeśli utworzymy ciąg

$$\left\{ \frac{2\pi}{N} \cdot 1, \frac{2\pi}{N} \cdot 2, \dots, \frac{2\pi}{N} \cdot \frac{N}{2} \right\} \quad (60)$$

oznaczmy go

$$\left\{ \omega_1, \dots, \omega_{\frac{N}{2}} \right\}, \quad (61)$$

to wykres, odpowiednio, $20 \log_{10}(|\hat{h}_i|)$, $i = 1, \dots, \frac{N}{2}$, oraz $\arg(h_i)$, $i = 1, \dots, \frac{N}{2}$, w funkcji ω_i , $i = 1, \dots, \frac{N}{2}$ daje nam $\frac{N}{2}$ dyskretnych punktów charakterystyki Bodego rozpatrywanego układu.

Przykład 2. Weźmy pod uwagę układ dyskretny

$$x_{k+1} = Ax_k + Bu_k, \quad (62a)$$

$$y_k = Cx_k, \quad (62b)$$

gdzie

$$A = \begin{bmatrix} 0.1898 & -0.4855 \\ 0.4855 & 0.1898 \end{bmatrix}, \quad B = \begin{bmatrix} -0.1450 \\ -0.8940 \end{bmatrix} \quad (63a)$$

$$C = [-0.2410 \quad 0.4258], \quad (63b)$$

Powyższym równaniom stanu odpowiada transmitancja

$$H(z) = C(Iz - A)^{-1}B, \quad (64)$$

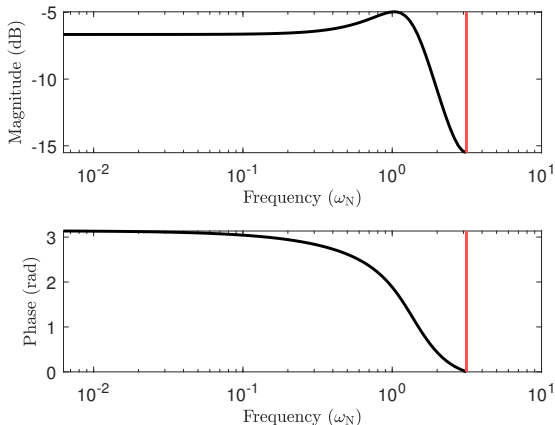
uwzględniając (63) otrzymujemy

$$H(z) = \frac{-0.3457z^{-1} - 0.0690z^{-2}}{1 - 0.3796z^{-1} + 0.2717z^{-2}}, \quad (65)$$

czyli

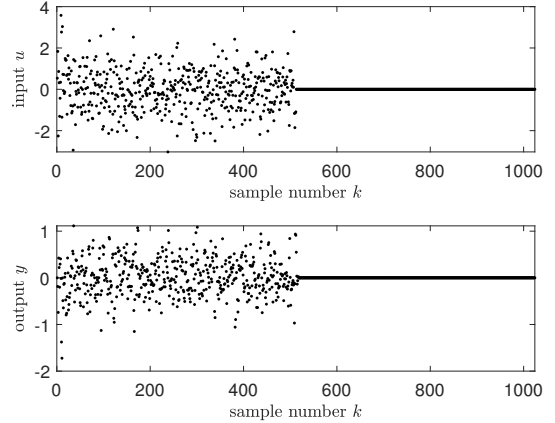
$$H(z) = \frac{-0.3457z - 0.0690}{z^2 - 0.3796z + 0.2717}, \quad (66)$$

Na Rys. 4 przedstawiono wykres Bodego dla tego układu.



Rysunek 4: Wykres Bodego

Następnie, przy zerowych warunkach początkowych, podano sygnał wymuszenia złożony z $N = 1024$ próbek, u_0, u_1, \dots, u_{N-1} , przy czym pierwsza połowa próbek to wartości (pseudo)losowe, natomiast druga połowa to wartości zerowe. Zarejestrowano (obliczono) wartości odpowiedzi układu, y_0, y_1, \dots, y_{N-1} . Wykresy obydwu sygnałów przedstawia Rys. 5



Rysunek 5: Wykresy sygnałów wymuszenia i odpowiedzi układu

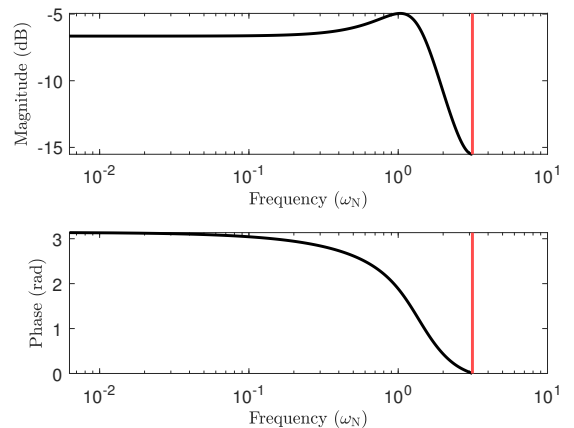
Następnie na obydwu ciągach wykonano FFT i otrzymane wyniki podzielono jedno przez drugi, element po elemencie, zgodnie ze wzorem

$$\hat{h}_i = \frac{\hat{y}_i}{\hat{u}_i}, \quad i = 0, \dots, N-1 \quad (67)$$

Następnie wykonano wykresy wartości $20 \log_{10}(|\hat{h}_i|)$, $i = 1, \dots, \frac{N}{2}$, oraz $\arg(h_i)$, $i = 1, \dots, \frac{N}{2}$, w funkcji ω_i , $i = 1, \dots, \frac{N}{2}$ dla

$$\left\{ \omega_1, \dots, \omega_{\frac{N}{2}} \right\} = \left\{ \frac{2\pi}{N} \cdot 1, \frac{2\pi}{N} \cdot 2, \dots, \frac{2\pi}{N} \cdot \frac{N}{2} \right\}. \quad (68)$$

Otrzymując wynik przedstawiony na Rys. 6



Rysunek 6: Wykres Bodego na podstawie FFT parametrów Markowa

Na koniec, w celu dodatkowej weryfikacji wyników, wyznaczono parametry Markowa układu ze wzoru (38) i porównano z ciągiem otrzymanymi przez IFFT ciągu $\{\hat{h}_0, \dots, \hat{h}_{N-1}\}$, otrzymując pełną zgodność. Tabela 1 przedstawia wartości pierwszych kilku parametrów Markowa rozpatrywanego układu.

Tabela 1

	IFFT	wzór (38)
h_0	-0.0000	0
h_1	-0.3457	-0.3457
h_2	-0.2002	-0.2002
h_3	0.0179	0.0179
h_4	0.0612	0.0612
h_5	0.0184	0.0184
h_6	-0.0097	-0.0097
h_7	-0.0087	-0.0087

2 Zadania

Zadanie 1. Powtórzyć obliczenia z Przykładu 2 i wykonać odpowiednie wykresy.

Literatura

- [1] Richard G Lyons. *Wprowadzenie do cyfrowego przetwarzania sygnałów*. Wydawnictwa Komunikacji i Łączności, Warszawa, 2010.
- [2] Jer-Nan Juang and Minh Q Phan. *Identification and Control of Mechanical Systems*. Cambridge University Press, Cambridge, 2001.
- [3] Jer-Nan Juang. *Applied System Identification*. Pearson Collage Div, 1994.